

6. В. С. Бабкин, Ю. Г. Кононенко. ФГВ, 1967, 3, 2.
7. С. С. Минаев, В. С. Бабкин.— В кн.: Структура газофазных пламен. Новосибирск, ИТПМ СО АН СССР, 1983.
8. Х. Гринспен. Теория вращающихся жидкостей. М.: Гидрометеиздат, 1975.

*Поступила в редакцию 9/IV 1985,  
после доработки — 5/VIII 1985*

## РЕЖИМ КОНВЕКТИВНОГО ГОРЕНИЯ В ДЕФОРМИРУЕМОМ ТВЕРДОМ ТОПЛИВЕ С ПРОДОЛЬНЫМИ КАНАЛАМИ

*Н. Н. Смирнов, И. Д. Дмитриенко  
(Москва)*

При относительно небольшой скорости нормального горения твердого топлива, которая в зависимости от внешних условий составляет 1 мм/с — 10 см/с, скорость распространения пламени в каналах для отдельных видов топлива и разных диаметров каналов может составлять от 100 до 1000 м/с.

Конвективное горение инициируется при затекании в канал с открытого торца горячих продуктов реакции. Таким образом, механизм распространения конвективного фронта пламени определяется не процессами прогрева последующих слоев топлива в результате теплопроводности, а конвективной теплопередачей от горячих газов, затекающих в канал с большой скоростью. Быстрое распространение пламени приводит к возникновению в каналах очень высоких давлений, которые в состоянии при определенных условиях инициировать детонацию топлива.

Изучению процессов конвективного горения канальных и пористых систем посвящено большое количество работ [1—13]. В отдельных теоретических исследованиях конденсированная фаза предполагается абсолютно твердой [5—7, 9]. Такое предположение справедливо при изучении конвективного горения в каналах относительно больших диаметров, когда деформации конденсированной фазы практически не влияют на их геометрию. При относительно малых диаметрах и больших давлениях, возникающих в режиме конвективного горения [8, 9], деформации в твердом топливе могут вызвать значительные изменения площади поперечного сечения каналов и пор и тем самым существенно повлиять на условия возникновения и режим распространения конвективного горения. Поэтому в [10—12] учитываются деформируемость твердого топлива и образование перед фронтом конвективного горения зоны сильного уплотнения, где объемное содержание к-фазы велико. При этом предполагается, что истинная плотность конденсированной фазы постоянна ( $\rho_k^0 = \text{const}$ ), т. е. к-фаза несжимаема. Возникающие в каналах большие давления могут приводить к разрушению к-фазы, росту трещин. Исследование механической устойчивости горящих трещин в стационарной постановке проведено в [13] в рамках статической теории упругости. Однако проникновение горения в единственный канал — быстропотекающий существенно нестационарный динамический процесс. Результаты расчетов [9] и эксперименты [8] показывают, что в каналах могут возникать большие давления ( $\sim 10^2$  МПа). При этом значительное влияние на развитие процесса конвективного горения и распространение волны сжатия в твердом топливе оказывает сжимаемость конденсированной фазы.

В настоящей работе распространение конвективного горения в цилиндрических каналах исследуется с учетом динамических процессов, протекающих в сжимаемом твердом топливе.

Рассмотрим математическую модель и метод расчета нестационарной задачи распространения конвективного фронта пламени в цилиндрических каналах в твердом линейно-упругом топливе. Предположим, что термодинамические свойства продуктов реакции и газа, заполняющего

канал до воспламенения, одинаковы, т. е. газовая фаза однокомпонентна; газ считается вязким, нетеплопроводным, а процессы вязкости и теплопроводности учитываются лишь при взаимодействии газа с поверхностью твердого топлива; газ считается калорически совершенным, а твердое топливо — линейно-упругим, т. е. подчиняющимся обобщенному закону Гука; рассматривается плоское деформированное состояние твердого топлива.

Пусть имеется единичный канал радиуса  $r_0$ , толщина слоя топлива, нанесенного на стенки канала —  $y_0$ . Из условий симметрии задачи горения многоканального образца нормальные перемещения на внешней границе слоя топлива положим равными нулю. Выберем неподвижную прямоугольную систему координат так, чтобы оси  $OX$  и канала совпали, а ось  $OY$  была перпендикулярна, точка  $O$  соответствует началу канала. Параметры, относящиеся к газу и твердому топливу, обозначим индексами 1 и 2. Пусть  $\rho_1^0$  и  $\rho_2^0$  — истинные плотности газа и твердой фазы,  $\alpha_1$ ,  $\alpha_2$  — объемные концентрации и  $\alpha_1 = F_1/F_0$ ,  $\alpha_2 = F_2/F_0$ , где  $F_1$ ,  $F_2$ ,  $F_0$  — площади поперечного сечения канала, занимаемые газом, твердым топливом, и площадь сечения всего канала соответственно. Введем средние плотности газа и твердой фазы:  $\rho_1 = \alpha_1 \rho_1^0$ ,  $\rho_2 = \alpha_2 \rho_2^0$ . Уравнения, описывающие движение системы, строятся на основе физических законов изменения массы, импульса и энергии. Рассмотрим плоское одномерное течение.

Изменение массы фазы, заключенной в выделенный объем, происходит за счет конвективного перетока массы  $\frac{\partial \rho_i v_i}{\partial x}$  ( $i = 1, 2$ ) и притока (или оттока) массы в результате реакции горения

$$\frac{\partial \rho_1}{\partial t} + \frac{\partial \rho_1 v_1}{\partial x} = \begin{cases} 0, & T_w < T_s, \\ J, & T_w \geq T_s, \end{cases} \quad (1)$$

$$\frac{\partial \rho_2}{\partial t} + \frac{\partial \rho_2 v_2}{\partial x} = \begin{cases} 0, & T_w < T_s, \\ -J, & T_w \geq T_s, \end{cases} \quad (2)$$

где  $v_1$ ,  $v_2$  — скорости газа и твердого топлива;  $T_w$  — температура поверхности топлива;  $T_s$  — заранее заданная температура воспламенения;  $J$  — средний по сечению приток массы в единицу объема (он определяется следующим образом:  $M = \int \rho_2^0 u_j dx$  — массообразование на малом элементе поверхности, ограниченном плоскостями  $x$  и  $x + dx$ , тогда  $J = \rho_2^0 u_j \frac{\Pi}{F_0}$ );  $\Pi$  — периметр сечения внутреннего канала;  $u_j$  — линейная скорость горения твердого топлива.

Изменение количества движения фазы, заключенной в выделенный объем  $\frac{\partial \rho_i v_i}{\partial t}$  ( $i = 1, 2$ ), происходит за счет конвективного переноса количества движения  $\frac{\partial \rho_i v_i^2}{\partial x}$  ( $i = 1, 2$ ), внешних поверхностных сил с учетом

давления на поверхность раздела фаз (массовые силы не рассматриваются):  $\frac{\partial \alpha_1 p_1}{\partial x} - p_1 \frac{\partial \alpha_1}{\partial x}$  — для газа,  $\frac{\partial \alpha_2 p_2}{\partial x} - p_2 \frac{\partial \alpha_2}{\partial x}$  — для твердого топлива; межфазного трения  $f_i$ . При наличии горения количество движения также изменяется за счет притока импульса в результате межфазного массообмена:  $J \left( v_2 + u_1 \frac{\partial Y_w}{\partial x} \right)$  — для газа;  $-J v_2$  — для конденсированной фазы. Таким образом

$$\frac{\partial \rho_1 v_1}{\partial t} + \frac{\partial \rho_1 v_1^2}{\partial x} + \frac{\partial \alpha_1 p_1}{\partial x} - p_1 \frac{\partial \alpha_1}{\partial x} = \begin{cases} -f_1, & T_w < T_s, \\ -f_2 + J \left( v_2 + u_1 \frac{\partial Y_w}{\partial x} \right), & T_w \geq T_s, \end{cases} \quad (3)$$

$$\frac{\partial \rho_2 v_2}{\partial t} + \frac{\partial \rho_2 v_2^2}{\partial x} + \frac{\partial \alpha_2 p_2}{\partial x} - p_2 \frac{\partial \alpha_2}{\partial x} = \begin{cases} f_1, & T_w < T_s, \\ f_2 - J v_2, & T_w \geq T_s, \end{cases} \quad (4)$$

где  $Y_w(x, t)$  — форма поверхности раздела фаз;  $f_1, f_2$  — межфазное трение при отсутствии и при наличии реакций соответственно;  $p_2 = p_{xx}$  — нормальная компонента тензора напряжений в твердом топливе по оси  $O\bar{X}$ ;  $p_1$  — давление в газе. Трение трактуется, аналогично  $J$ , как среднее по сечению

$$f_1 = \tau_{1w}\Pi/F_0, \quad f_2 = \tau_{2w}\Pi/F_0$$

( $\tau_{1w}, \tau_{2w}$  — трения на поверхности раздела фаз при отсутствии и наличии горения).

Давление  $p_{-1} = p_{xy}$  для твердой фазы при наличии горения находится из условий на сильном разрыве

$$\begin{aligned} \rho_1^i (u_f - u_1) &= \rho_2^0 u_f, \\ \rho_1^0 u_1 (u_f - u_1) - p_1 &= -p_{-1}. \end{aligned}$$

Здесь  $u_1$  — скорость газа по нормали к поверхности раздела. Тогда

$$p_{-1} = \begin{cases} p_1, & T_w < T_s, \\ p_1 + u_f^2 \rho_2^0 \left( \frac{\rho_2^0}{\rho_1^i} - 1 \right), & T_w \geq T_s, \end{cases}$$

$$u_1 = \begin{cases} 0, & T_w < T_s, \\ u_f \left( \frac{\rho_2^0}{\rho_1^0} - 1 \right), & T_w \geq T_s. \end{cases}$$

Полная энергия фазы, заключенная в выделенный объем, изменяется за счет конвективного переноса энергии  $\partial \rho_i v_i \left( e_i + \frac{v_i^2}{2} \right) / \partial x$  ( $i = 1, 2$ ), работы внешних поверхностных сил, включая силу давления на поверхность раздела фаз сжимаемого твердого топлива:

для газа

$$\frac{\partial \alpha_1 p_1 v_1}{\partial x} - p_{-1} v_2 \frac{\partial \alpha_1}{\partial x} - p_{-1} \alpha_2 \frac{\partial \epsilon_{11}}{\partial t},$$

для твердого топлива

$$\frac{\partial \alpha_2 p_2 v_2}{\partial x} - p_{-1} v_2 \frac{\partial \alpha_2}{\partial x} + p_{-1} \alpha_2 \frac{\partial \epsilon_{11}}{\partial t}.$$

Полная энергия изменяется также за счет работы силы трения, межфазного теплообмена ( $q_1$  — при отсутствии химических реакций,  $q_2$  — при их наличии) и притока энергии в результате реакции горения:  $J e_2 + \frac{1}{2} J v_2^2 + J \frac{p_{-1}}{\rho_2^0}$ .

Таким образом, уравнения энергии для газообразной и конденсированной фазы имеют вид

$$\begin{aligned} \frac{\partial \rho_1 (e_1 + v_1^2/2)}{\partial t} + \frac{\partial}{\partial x} [\rho_1 v_1 (e_1 + v_1^2/2)] + \frac{\partial \alpha_1 p_1 v_1}{\partial x} - p_{-1} v_2 \frac{\partial \alpha_1}{\partial x} - p_{-1} \alpha_2 \frac{\partial \epsilon_{11}}{\partial t} = \\ = \begin{cases} -f_1 v_2 - q_1, & T_w < T_s, \\ -f_2 v_2 - q_2 + J e_2 + \frac{1}{2} J v_2^2 + J \frac{p_{-1}}{\rho_2^0}, & T_w \geq T_s, \end{cases} \end{aligned} \quad (5)$$

$$\begin{aligned} \frac{\partial \rho_2 (e_2 + v_2^2/2)}{\partial t} + \frac{\partial}{\partial x} [\rho_2 v_2 (e_2 + v_2^2/2)] + \frac{\partial \alpha_2 p_2 v_2}{\partial x} - p_{-1} v_2 \frac{\partial \alpha_2}{\partial x} - p_{-1} \alpha_2 \frac{\partial \epsilon_{11}}{\partial t} = \\ = \begin{cases} f_1 v_2 + q_1, & T_w < T_s, \\ f_2 v_2 + q_2 - J e_2 - \frac{1}{2} J v_2^2 - J \frac{p_{-1}}{\rho_2^0}, & T_w \geq T_s. \end{cases} \end{aligned} \quad (6)$$

Здесь  $e_1$ ,  $e_2$  — внутренние энергии газа и твердого топлива;  $q_1 = q_{1w}\Pi/F_0$ ,  $q_2 = q_{2w}\Pi/F_0$  — приток тепла, определяется как средний по сечению;  $q_{1w}$ ,  $q_{2w}$  — приток тепла через поверхность раздела фаз при отсутствии и при наличии горения. Деформации твердого топлива  $\varepsilon_{11}$  и  $\varepsilon_{22}$  (по осям  $OY$  и  $OX$ ) выбираются положительными при сжатии материала.

Изменение объемной концентрации топлива  $\alpha_2$  в результате его сжатия и выгорания описывается уравнением

$$\frac{\partial \alpha_2}{\partial t} + \alpha_2 \frac{\partial \varepsilon_{11}}{\partial t} = \begin{cases} 0, & T_w < T_s, \\ -J/\rho_2, & T_w \geq T_s. \end{cases} \quad (7)$$

Кинематическое уравнение для твердой фазы в переменных Лагранжа имеет вид

$$\partial \varepsilon_{22} / \partial t = -\partial v_2 / \partial x$$

(здесь учтено, что сжимающие деформации  $\varepsilon_{22}$  положительны). В переменных Эйлера получаем

$$\frac{\partial \varepsilon_{22}}{\partial t} + v_2 \frac{\partial \varepsilon_{22}}{\partial x} = -(1 + \varepsilon_{22}) \frac{\partial v_2}{\partial x}. \quad (8)$$

Для замыкания системы дифференциальных уравнений (1)–(8) необходимо дополнительно задать уравнения: состояния газа и продуктов реакции

$$p_1 = \rho_1^0 R T_1, \quad (9)$$

внутренней энергии газа

$$e_1 = c_{v1} T_1 \quad (10)$$

( $T_1$  — температура газа,  $c_{v1}$  — удельная теплоемкость газа при постоянном объеме (предполагается  $c_{v1} = \text{const}$ )) и уравнение состояния твердой фазы.

Пусть для упругого тела лагранжева система координат выбрана совпадающей в начальный момент с системой отсчета, компоненты тензора деформаций  $\varepsilon_{ij}$  и относительные смещения малы, тогда компоненты всех тензоров различаются на малые величины высшего порядка по сравнению с величинами самих компонентов. Так как твердая фаза изотропна, ее внутренняя энергия  $e_2$  зависит от трех независимых инвариантов тензора деформаций:  $I_1, I_2, I_3$  [14].

Рассматривая разложение в ряд функции  $e_2$  до членов второго порядка малости при  $\varepsilon_{ij} \ll 1$ ,  $T_2 = T_0 + \Delta T_2$  ( $\Delta T_2 \ll T_0$ ,  $T_2$  — температура твердой фазы,  $T_0$  — начальная температура системы), получим [15]

$$e_2 = Q - \frac{3\alpha}{\rho_{20}^0} \left( \lambda + \frac{2}{3}\mu \right) T_0 I_1 + \frac{1}{2} \frac{\lambda}{\rho_{20}^0} I_1^2 + \frac{\mu}{\rho_{20}^0} I_2 + \frac{c_2}{2T_0} T_2^2, \quad (11)$$

где  $Q$  — приведенная теплота химической реакции горения;  $c_2$  — теплоемкость твердой фазы;  $\alpha$  — коэффициент теплового расширения;  $\lambda, \mu$  — параметры Ламэ;  $\rho_{20}^0$  — начальная плотность твердого топлива.

При проведении конкретных расчетов тепловое расширение предполагалось малым и не учитывалось ( $\alpha \ll \frac{y_0}{\Delta T_2}$ ,  $\Delta T_2 \ll T_2$ ). Рассматривая плоское деформированное состояние, предполагаем  $\varepsilon_{33} = \varepsilon_{13} = \varepsilon_{23} = 0$ . Поскольку рассматривается одномерная задача, а  $p_2$  — некоторое осредненное, одинаковое по сечению давление, полагаем  $\varepsilon_{12} = 0$ . Вводя модуль Юнга и коэффициент Пуассона  $E = \frac{\mu(3\lambda + 2\mu)}{\lambda + \mu}$ ,  $\nu = \frac{\lambda}{2(\lambda + \mu)}$ , запишем обобщенный закон Гука для плоского деформированного состояния ( $\varepsilon_{33} = 0$ )

$$\begin{aligned} \varepsilon_{11} &= \frac{(1-\nu)(1+\nu)}{E} p_{-1} - \frac{\nu(1+\nu)}{E} p_2, \\ \varepsilon_{22} &= \frac{(1-\nu)(1+\nu)}{E} p_2 - \frac{\nu(1+\nu)}{E} p_{-1}. \end{aligned} \quad (12)$$

Уравнения (9) — (12) дополняются условием, связывающим объемные концентрации  $\alpha_1 + \alpha_2 = 1$ .

Для решения полученной системы необходимо определить параметры межфазного взаимодействия. Трение, тепло- и массообмен при турбулентном течении горячих газов в канале переменного сечения не подвергаются строгому теоретическому описанию и требуют привлечения экспериментальных данных. Эксперименты [16] показывают, что для нормальной скорости горения топлива  $u_f = u_f(p_1, T_1)$  основную роль играет зависимость от давления  $p_1$ . Предполагаем

$$u_f = u_s(p_1/p_0)^\varphi$$

( $u_s, \varphi$  — экспериментально определенные константы).

При отсутствии массообмена на поверхности раздела фаз трение определяется по формуле для турбулентного течения в круглых трубах [17]

$$\frac{\tau_{1w}}{\frac{1}{2} \rho_1^0 (v_1 - v_2)^2} = c_f = 0,066 \text{ Re}^{-1/4},$$

где  $\text{Re} = \frac{\rho_1^0 (v_1 - v_2)}{\mu_1} \cdot \frac{4F_1}{\pi D}$ ;  $\mu_1, c_f$  — коэффициенты динамической вязкости и турбулентного трения.

Теплообмен между фазами при отсутствии массообмена определяется из аналогии Рейнольдса [18]

$$c_H = \frac{1}{2} \cdot c_f s_R$$

( $s_R$  — параметр аналогии Рейнольдса;  $c_H$  — коэффициент теплообмена). Тогда поток тепла от газовой фазы к поверхности

$$q_{1w} = c_H \rho_1^0 (v_1 - v_2) (H_{1r} - H_{1w}).$$

Здесь  $H_{1w} = c_{p1} T_w$  — удельная энтальпия газа у поверхности;  $H_{1r} = c_{p1} T_1 + r \frac{(v_1 - v_2)^2}{2}$  — полная удельная энтальпия восстановления;  $r$  — коэффициент восстановления.

Эксперименты показывают, что  $0,91 \leq r \leq 0,98$  [17]; из [18] для турбулентного течения  $r \approx \text{Pr}^{1/3}$  (при  $\text{Pr} = 0,72$   $r = 0,895$ ). Для определения  $s_R$  используем аппроксимационную формулу [19]  $s_R \approx \text{Pr}^{-2/3}$  (если  $\text{Pr} = 0,72$ , то  $s_R = 1,24$ ).

Для определения трения и теплообмена в случае горения поверхности необходимо учитывать влияние на эти параметры вдува большого количества продуктов реакции. Теоретические и экспериментальные исследования показали, что вдув вещества уменьшает трение у стенок [19—21]

$$\frac{\tau_{2w}}{\tau_{1w}} = \frac{\ln(1+B)}{B}, \quad B = \frac{\rho_2^0 u_f (v_1 - v_2)}{\tau_{2w}}.$$

Поток тепла в твердую фазу определим в предположении, что горение происходит в стационарном режиме и топливо несжимаемо, тогда из уравнения энергии в твердой фазе найдем поток тепла

$$q_{2w} = c_2 \rho_2^0 u_f (T_w - T_2).$$

При подводе потока тепла  $q_{1w}(t)$  температура поверхности  $T_w$  повышается. При некоторых ее значениях начинает проявляться реакция в твердой фазе и  $T_w$  резко возрастает. Температура  $T_s$ , при которой происходит излом  $T_w(t)$ , отождествляется с температурой воспламенения. При известном значении  $T_s$  для данного состава для определения времени прогрева  $\Delta t_+$  найдем закон изменения  $T_w(t)$  из решения нестационарной одномерной задачи теплопроводности с заданным теплотокном

$q_{1w}(t)$ . Решение имеет вид

$$T_w(t) = T_0 + \frac{1}{\sqrt{\lambda_2 \rho_2^0 c_2^0}} \int_0^t \frac{q_{1w}(t-\eta)}{\sqrt{\eta}} d\eta,$$

$\lambda_2$  — коэффициент теплопроводности к-фазы.

Система (1) — (12) решается со следующими граничными и начальными условиями.

1. На входе в канал задается высокое внешнее давление  $p_1 = p_e$  и  $T_1 = T_e$ , используется также условие критического истечения (затекания)  $v_1 = a_c(T_1)$ , где в силу неизэнтропичности течения критическая скорость звука  $a_c$  переменна. Если параметры истекающего газа таковы, что реализуется дозвуковой режим, то в качестве граничных условий у открытого конца задаются внешнее давление и температура при затекании газов в канал и внешнее давление при истечении.

Если же реализуется сверхзвуковой режим, то у открытого торца задается условие  $v_1 = a_c(T)$ , где при затекании газа в канал  $a_c$  определяется значением  $T_e$ , а при истечении  $a_c$  определяется параметрами в канале, причем внешние значения  $p_e$  и  $T_e$  не влияют на граничное условие.

2. На расстоянии  $L$  от входа в канал расположена твердая стенка; условия непротекания:  $v_1 = 0, v_2 = 0$ .

3. Начальные условия:

$$\rho_1 = \rho_{10}, \rho_2 = \rho_{20}, v_1 = v_2 = 0, T_1 = T_2 = T_0, \varepsilon_{22} = 0, \alpha_2 = \alpha_{22}.$$

Для разностной аппроксимации уравнений использовался двухшаговый метод Лакса — Вендроффа [22] в модифицированном виде. Схема имеет второй порядок точности по времени и пространству. Затем решение подправлялось с учетом межфазного взаимодействия, осцилляции подавлялись с помощью трехточечного оператора сглаживания.

Система уравнений (1) — (8) может быть записана в векторном виде

$$\begin{aligned} \frac{\partial \vec{y}_1}{\partial t} + y_2 \frac{\partial \vec{y}_3}{\partial t} + \frac{\partial \vec{z}_1}{\partial x} + z_2 \frac{\partial \vec{z}_3}{\partial x} &= \begin{cases} \vec{b}_1, & T_w < T_s, \\ \vec{b}_2, & T_w \geq T_s, \end{cases} \\ \vec{y}_1 = \begin{pmatrix} \rho_1 \\ \rho_2 \\ \rho_1 v_1 \\ \rho_2 v_2 \\ \rho_1 \left( e_1 + \frac{v_1^2}{2} \right) \\ \rho_2 \left( e_2 + \frac{v_2^2}{2} \right) \\ \alpha_2 \\ \varepsilon_{22} \end{pmatrix}, \vec{y}_2 = \begin{pmatrix} 0 \\ 0 \\ 0 \\ 0 \\ p_{-1} (-\alpha_2) \\ p_{-1} \cdot \alpha_2 \\ \alpha_2 \\ 0 \end{pmatrix}, \vec{y}_3 = \begin{pmatrix} 0 \\ 0 \\ 0 \\ 0 \\ \varepsilon_{11} \\ \varepsilon_{11} \\ \varepsilon_{11} \\ 0 \end{pmatrix}, \\ \vec{z}_1 = \begin{pmatrix} \rho_1 v_1 \\ \rho_2 v_2 \\ \rho_1 v_1^2 + \alpha_1 p_1 \\ \rho_2 v_2^2 + \alpha_2 p_2 \\ \rho_1 v_1 \left( e_1 + \frac{v_1^2}{2} \right) + \alpha_1 p_1 v_1 \\ \rho_2 v_2 \left( e_2 + \frac{v_2^2}{2} \right) + \alpha_2 p_2 v_2 \\ 0 \\ v_2 (1 + \varepsilon_{22}) \end{pmatrix}, \vec{z}_2 = \begin{pmatrix} 0 \\ 0 \\ -p_{-1} \\ -p_{-1} \\ -v_2 p_{-1} \\ -v_2 p_{-1} \\ 0 \\ 0 \end{pmatrix}, \vec{z}_3 = \begin{pmatrix} 0 \\ 0 \\ \alpha_1 \\ \alpha_2 \\ \alpha_1 \\ \alpha_2 \\ 0 \\ 0 \end{pmatrix}, \end{aligned}$$

$$\vec{b}_1 = \begin{pmatrix} 0 \\ 0 \\ -f_1 \\ +f_1 \\ -f_1 v_2 - q_1 \\ f_1 v_2 + q_1 \\ 0 \\ 0 \end{pmatrix}, \vec{b}_2 = \begin{pmatrix} J \\ -J \\ -f_2 + J v_2 \\ f_2 - J v_2 \\ -f_2 v_2 - q_2 + J e_2 + \frac{1}{2} J v_2^2 + J \frac{\rho_{-1}}{\rho_2^0} \\ f_2 v_2 + q_2 - J e_2 - \frac{1}{2} J v_2^2 - J \frac{\rho_{-1}}{\rho_2^0} \\ -J/\rho_2^0 \\ 0 \end{pmatrix}.$$

Система решается в три этапа. Вначале члены, описывающие межфазные взаимодействия, не учитываются ( $\vec{b}_1 = \vec{b}_2 = 0$ )

$$\begin{aligned} & \vec{y}_{1,j+\frac{1}{2}}^{\rightarrow n+\frac{1}{2}} + \frac{1}{2} (\vec{y}_{2,j}^{\rightarrow n} + \vec{y}_{2,j+1}^{\rightarrow n}) \vec{y}_{3,j+\frac{1}{2}}^{\rightarrow n+\frac{1}{2}} = \frac{1}{2} (\vec{y}_{1,j}^{\rightarrow n} + \vec{y}_{1,j+1}^{\rightarrow n}) + \\ & + \frac{1}{4} (\vec{y}_{2,j}^{\rightarrow n} + \vec{y}_{2,j+1}^{\rightarrow n}) (\vec{y}_{3,j+1}^{\rightarrow n} - \vec{y}_{3,j}^{\rightarrow n}) - \frac{\Delta t}{2\Delta x} \left[ \vec{z}_{1,j+1}^{\rightarrow n} - \vec{z}_{1,j}^{\rightarrow n} + \right. \\ & \left. + \frac{1}{2} (\vec{z}_{2,j}^{\rightarrow n} + \vec{z}_{2,j+1}^{\rightarrow n}) (\vec{z}_{3,j+1}^{\rightarrow n} - \vec{z}_{3,j}^{\rightarrow n}) \right], \\ & \vec{y}_{1,j}^{\rightarrow n+1} - \vec{y}_{1,j}^{\rightarrow n} + \frac{1}{2} \left( \vec{y}_{2,j+\frac{1}{2}}^{\rightarrow n+\frac{1}{2}} + \vec{y}_{2,j-\frac{1}{2}}^{\rightarrow n-\frac{1}{2}} \right) (\vec{y}_{3,j}^{\rightarrow n+1} - \vec{y}_{3,j}^{\rightarrow n}) = -\frac{\Delta t}{\Delta x} \left[ \vec{z}_{1,j+\frac{1}{2}}^{\rightarrow n+\frac{1}{2}} - \right. \\ & \left. - \vec{z}_{1,j-\frac{1}{2}}^{\rightarrow n} + \frac{1}{2} \left( \vec{z}_{2,j+\frac{1}{2}}^{\rightarrow n+\frac{1}{2}} + \vec{z}_{2,j-\frac{1}{2}}^{\rightarrow n-\frac{1}{2}} \right) \left( \vec{z}_{3,j+\frac{1}{2}}^{\rightarrow n+\frac{1}{2}} - \vec{z}_{3,j-\frac{1}{2}}^{\rightarrow n-\frac{1}{2}} \right) \right]. \end{aligned}$$

Условие устойчивости схемы записывается в виде

$$\Delta t \leq \min \{ \Delta t^1, \Delta t^2 \}, \Delta t^i = \frac{\Delta x}{\max (|v_i| + a_{f_i})},$$

где  $a_{f_1}$  и  $a_{f_2}$  — местные скорости звука в газе и конденсированной фазе.

На втором этапе решение подправляется с учетом межфазного взаимодействия

$$\vec{y}_j^{\rightarrow n+1} = \vec{y}_j^{\rightarrow n+1} + \vec{b} (\vec{y}_j^{\rightarrow n+1}) \Delta t$$

( $\vec{y}_j^{\rightarrow n+1}$  — вектор-столбцы параметров фаз после первого этапа интегрирования), а на третьем производится подавление осцилляций решения

$$\widehat{\vec{Y}}_j^{\rightarrow n} = (1 - 2\beta) \vec{Y}_j^{\rightarrow n} + \beta (\vec{Y}_{j+1}^{\rightarrow n} + \vec{Y}_{j-1}^{\rightarrow n}),$$

где  $\vec{Y}_j^{\rightarrow n}$ ,  $\widehat{\vec{Y}}_j^{\rightarrow n}$  — вектор-столбцы параметров и комбинаций параметров фаз на  $n$ -м временном слое соответственно до и после действия оператора сглаживания;  $\beta$  — параметр сглаживания (в расчетах принималось  $\beta = 0, 1$ ).

Расчеты показали, что скорость распространения горения  $D$  в начальной стадии воспламенения резко возрастает, затем при достаточной длине канала устанавливается постоянное значение. При подходе к твердой стенке величина  $D$  уменьшается, так как падает скорость  $v_1$  газа в связи с формированием отраженной волны в газе и твердом топливе (рис. 1) [23].

Положение фронта воспламенения на рис. 2 отмечено точкой. Рис. 2, а отражает изменение деформаций  $\epsilon_{11}$  и  $\epsilon_{22}$  в различные моменты времени. Область повышенного значения  $\epsilon_{22}$  распространяется по каналу, дойдя до твердой стенки, накапливается и превышает величину  $\epsilon_{22}$

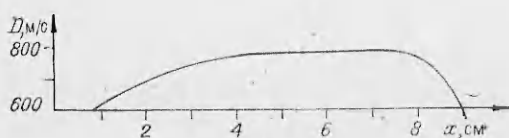


Рис. 1. Изменение скорости  $D$  конвективного фронта пламени по длине канала.

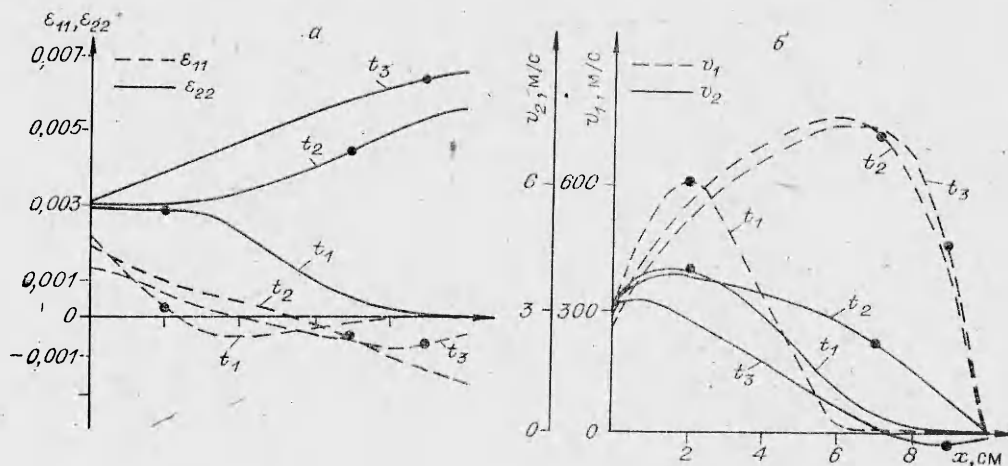
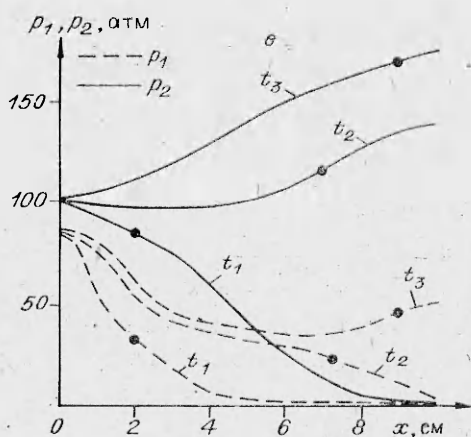


Рис. 2. Изменение значений параметров по длине канала для различных моментов времени ( $t_1 = 0,37 \cdot 10^{-4}$  с,  $t_2 = 1,02 \cdot 10^{-4}$  с,  $t_3 = 1,3 \cdot 10^{-4}$  с).

а) деформации  $\varepsilon_{22}$  и  $\varepsilon_{11}$  в конденсированной фазе; б) массовая скорость в газовой фазе ( $v_1$ ) и в твердом топливе ( $v_2$ ); в) давление в газовой фазе ( $p_1$ ) и продольная составляющая тензора напряжений в конденсированной фазе ( $p_2$ ).



выпуклость ( $\alpha_2$  больше начальной), которая вызвана тем, что волна в твердой фазе обгоняет волну в газообразной фазе, в результате чего давление в твердой фазе превышает давление в газе. Отрицательное значение  $\varepsilon_{11}$  на стенке по модулю увеличивается, а затем начинает уменьшаться при формировании отраженной волны.

В результате численных расчетов получено, что впереди фронта воспламенения движутся с большой скоростью  $v_1$  продукты горения (рис. 2, б), которые прогревают поверхность канала.

Рис. 2, в отражает изменение  $p_1$  и  $p_2$ . Волна в твердом топливе опережает волну, бегущую по газу. После отражения волны от стенки  $p_2$  в 2 раза превышает значение  $p_2$  на входе, формируется отраженная волна. Давление в газе также начинает возрастать после формирования отраженной волны в результате дополнительного притока продуктов реакции.

Заметим, что скорость распространения фронта воспламенения превосходит скорость течения газов в канале. Это говорит о том, что после выхода процесса на стационарный режим воспламенение последующей слоев топлива осуществляется посредством ударной волны, сжимающей и разогревающей газ, находящийся в канале. Ударная волна на рис. 2, в представляет сильно размытую структуру ввиду большого влияния вязкости (члены, содержащие  $f_i$  ( $i = 1, 2$ ) в системе (1) — (8)).



Все графики для радиуса канала  $r_0 = 0,8$  мм, толщины слоя топлива  $y_0 = 0,2$  мм и моментов времени  $t_1 = 0,37 \cdot 10^{-4}$  с,  $t_2 = 1,02 \cdot 10^{-4}$  с,  $t_3 = -1,3 \cdot 10^{-4}$  с. Расчеты проведены при следующих значениях определяющих параметров:  $Q = 3,58 \cdot 10^8$  Дж/кг,  $p_0 = 1$  атм,  $p_e = 100$  атм,  $\rho_s^0 = 1700$  кг/м<sup>3</sup>,  $\lambda_2 = 0,16$  Вт/(м·град),  $u_s = 4,18 \cdot 10^{-3}$  м/с,  $E = 2,3 \cdot 10^9$  Н/м,  $\nu = 0,25$ ,  $\varphi = 0,45$ ,  $\alpha = 0,1$ ,  $T_s = 550$  К,  $T_0 = 290$  К,  $c_2 = 1400$  Дж/(кг·град),  $c_{VI} = 713$  Дж/(кг·град),  $c_p = 1000$  Дж/(кг·град).

Таким образом, в работе предложена нестационарная модель расширения конвективного горения в сжимаемом твердом топливе, содержащем продольные каналы малого диаметра. Составлена система уравнений, позволяющая описать горение двухфазных деформируемых сред. Разработан метод расчета, основанный на схеме Лакса — Вендроффа.

#### ЛИТЕРАТУРА

1. А. Ф. Беляев, В. К. Боболев и др. Переход горения конденсированных систем во взрыв. М.: Наука, 1973.
2. А. Д. Марголин, В. М. Маргулис. ФГВ, 1969, 5, 4, 15.
3. А. Ф. Беляев, А. И. Коротков. ФГВ, 1969, 5, 1, 8.
4. Годан. Вопросы ракетной техники, 1970, 6, 36.
5. Ю. К. Краснов, В. М. Маргулис, А. Д. Марголин и др. ФГВ, 1970, 6, 3, 290.
6. В. И. Вилюнов, В. М. Ушаков, Э. Р. Шрагер. ФГВ, 1970, 6, 3, 311.
7. К. К. Куо, А. Г. Чен, Т. Р. Дэвис. РТК, 1978, 16, 6, 74.
8. М. Кумар, С. М. Ковачич, К. К. Куо. РТК, 1981, 19, 7, 78.
9. И. И. Смирнов.— В кн.: Механика быстропротекающих процессов. Новосибирск, 1984.
10. Р. И. Пигматулин, П. Б. Вайштейн, И. Ш. Ахатов. ФГВ, 1983, 19, 5, 93.
11. Б. С. Ермолаев, В. С. Посвянский.— В кн.: Горение конденсированных и гетерогенных систем. Черноголовка, 1980.
12. Б. С. Ермолаев, А. А. Сулимов, В. А. Фотеев и др. ФГВ, 1980, 16, 3, 24.
13. З. В. Кирсанова, О. П. Лейпунский. ФГВ, 1970, 6, 1, 72.
14. Л. И. Седов. Механика сплошной среды. М.: Наука, 1976.
15. А. А. Пльюшин. Механика сплошной среды. М.: Изд-во МГУ, 1978.
16. Я. Б. Зельдович.— В кн.: Теория горения порохов и взрывчатых веществ. М.: Наука, 1982.
17. Л. Г. Лойцянский. Механика жидкости и газа. М.: Наука, 1973.
18. М. Ф. Широков. Физические основы газодинамики. М.: Физматгиз, 1958.
19. Ю. В. Ланин. Турбулентный пограничный слой в сверхзвуковых потоках газа. М.: Наука, 1982.
20. И. И. Смирнов. ФГВ, 1982, 18, 5, 63.
21. У. Х. Дорренис. Гиперзвуковые течения вязкого газа. М.: Мир, 1966.
22. Р. Рихтмайер, К. Мортон. Разностные методы решения краевых задач. М.: Мир, 1972.
23. Н. И. Смирнов. ФГВ, 1985, 21, 5, 23.

Поступила в редакцию 22/II 1985

#### КРИТИЧЕСКИЕ УСЛОВИЯ ГОРЕНИЯ МАТЕРИАЛОВ ИЗ ВОЛОКНООБРАЗУЮЩИХ ПОЛИМЕРОВ

С. А. Вилкова, В. Г. Крупкин, А. Д. Марголин

(Москва)

В настоящей работе проведено экспериментальное исследование критических условий горения — кислородного индекса и предельных размеров горения — тканей и пленок из волокнообразующих полимеров. Сущность метода кислородного индекса (КИ) заключается в определении концентрации кислорода в кислородно-азотной атмосфере, в которой образец горит до погасания в течение 3 мин или прогорает менее 50 мм. Определенная таким образом в объемных процентах концентрация кислорода принимается за кислородный индекс. Методом КИ в настоящей работе испытывались тонкие образцы стандартного размера 50 × 150 мм.